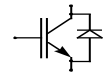


Technische Information / Technical Information

IGBT-Module
IGBT-Modules

FD 800 R 33 KF2

eupec



Datenblatt data sheet

Höchstzulässige Werte / Maximum rated values

Elektrische Eigenschaften / Electrical properties

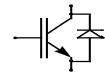
Kollektor-Emitter-Sperrspannung collector-emitter voltage	$T_j = 25^\circ\text{C}$ $T_j = -25^\circ\text{C}$	V_{CES}	3300 3300	V V
Kollektor-Dauergleichstrom DC-collector current	$T_C = 80^\circ\text{C}$ $T_C = 25^\circ\text{C}$	$I_{C,nom.}$ I_C	800 1300	A A
Periodischer Kollektor Spitzenstrom repetitive peak collector current	$t_p = 1 \text{ ms}, T_C = 80^\circ\text{C}$	I_{CRM}	1600	A
Gesamt-Verlustleistung total power dissipation	$T_C = 25^\circ\text{C}$, Transistor	P_{tot}	9,6	kW
Gate-Emitter-Spitzenspannung gate-emitter peak voltage		V_{GES}	+/- 20V	V
Dauergleichstrom DC forward current		I_F	800	A
Periodischer Spitzenstrom repetitive peak forw. Current	$t_p = 1 \text{ ms}$	I_{FRM}	1600	A
Grenzlastintegral der Diode I2t - value, Diode	$V_R = 0V, t_p = 10\text{ms}, T_{vj} = 125^\circ\text{C}$	I^2t	222.200	A ² s
Spitzenverlustleistung der Diode maximum power dissipation diode	$T_j = 125^\circ\text{C}$	P_{ROM}	800	kW
Isolations-Prüfspannung insulation test voltage	RMS, $f = 50 \text{ Hz}, t = 1 \text{ min.}$	V_{ISOL}	6.000	V
Teilentladungs-Aussetzspannung partial discharge extinction voltage	RMS, $f = 50 \text{ Hz}, Q_{PD} \leq 10 \text{ pC}$ (acc. to IEC 1287)	V_{ISOL}	2.600	V

Charakteristische Werte / Characteristic values

Transistor / Transistor

			min.	typ.	max.	
Kollektor-Emitter Sättigungsspannung collector-emitter saturation voltage	$I_C = 800 \text{ A}, V_{GE} = 15V, T_{vj} = 25^\circ\text{C}$	$V_{CE \text{ sat}}$	-	3,40	4,25	V
	$I_C = 800 \text{ A}, V_{GE} = 15V, T_{vj} = 125^\circ\text{C}$		-	4,30	5,00	V
Gate-Schwellenspannung gate threshold voltage	$I_C = 80 \text{ mA}, V_{CE} = V_{GE}, T_{vj} = 25^\circ\text{C}$	$V_{GE(th)}$	4,2	5,1	6,0	V
Eingangskapazität input capacitance	$f = 1\text{MHz}, T_{vj} = 25^\circ\text{C}, V_{CE} = 25V, V_{GE} = 0V$	C_{ies}	-	100	-	nF
Rückwirkungskapazität reverse transfer capacitance	$f = 1\text{MHz}, T_{vj} = 25^\circ\text{C}, V_{CE} = 25V, V_{GE} = 0V$	C_{res}	-	5,4	-	nF
Gateladung gate charge	$V_{GE} = -15V \dots + 15V, V_{CE} = 1800V$	Q_G	-	15	-	μC
Kollektor-Emitter Reststrom collector-emitter cut-off current	$V_{CE} = 3300V, V_{GE} = 0V, T_{vj} = 25^\circ\text{C}$	I_{CES}	-	0,1	8	mA
	$V_{CE} = 3300V, V_{GE} = 0V, T_{vj} = 125^\circ\text{C}$		-	40	100	mA
Gate-Emitter Reststrom gate-emitter leakage current	$V_{CE} = 0V, V_{GE} = 20V, T_{vj} = 25^\circ\text{C}$	I_{GES}	-	-	400	nA

prepared by: Jürgen Göttert	date of publication : 08.06.99
approved by: Chr. Lübke; 20.07.99	revision: 2



Datenblatt
data sheet

Charakteristische Werte / Characteristic values

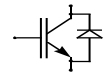
Transistor / Transistor

			min.	typ.	max.	
Einschaltverzögerungszeit (ind. Last) turn on delay time (inductive load)	$I_C = 800 \text{ A}, V_{CC} = 1800 \text{ V}$	$t_{d,on}$	-	370	-	ns
	$V_{GE} = \pm 15 \text{ V}, R_G = 1,8 \Omega, C_{GE} = 150 \text{ nF}, T_{vj} = 25^\circ \text{ C}$					
	$V_{GE} = \pm 15 \text{ V}, R_G = 1,8 \Omega, C_{GE} = 150 \text{ nF}, T_{vj} = 125^\circ \text{ C}$					
Anstiegszeit (induktive Last) rise time (inductive load)	$I_C = 800 \text{ A}, V_{CC} = 1800 \text{ V}$	t_r	-	250	-	ns
	$V_{GE} = \pm 15 \text{ V}, R_G = 1,8 \Omega, C_{GE} = 150 \text{ nF}, T_{vj} = 25^\circ \text{ C}$					
	$V_{GE} = \pm 15 \text{ V}, R_G = 1,8 \Omega, C_{GE} = 150 \text{ nF}, T_{vj} = 125^\circ \text{ C}$					
Abschaltverzögerungszeit (ind. Last) turn off delay time (inductive load)	$I_C = 800 \text{ A}, V_{CC} = 1800 \text{ V}$	$t_{d,off}$	-	1550	-	ns
	$V_{GE} = \pm 15 \text{ V}, R_G = 1,8 \Omega, C_{GE} = 150 \text{ nF}, T_{vj} = 25^\circ \text{ C}$					
	$V_{GE} = \pm 15 \text{ V}, R_G = 1,8 \Omega, C_{GE} = 150 \text{ nF}, T_{vj} = 125^\circ \text{ C}$					
Fallzeit (induktive Last) fall time (inductive load)	$I_C = 800 \text{ A}, V_{CC} = 1800 \text{ V}$	t_f	-	200	-	ns
	$V_{GE} = \pm 15 \text{ V}, R_G = 1,8 \Omega, C_{GE} = 150 \text{ nF}, T_{vj} = 25^\circ \text{ C}$					
	$V_{GE} = \pm 15 \text{ V}, R_G = 1,8 \Omega, C_{GE} = 150 \text{ nF}, T_{vj} = 125^\circ \text{ C}$					
Einschaltverlustenergie pro Puls turn-on energy loss per pulse	$I_C = 800 \text{ A}, V_{CC} = 1800 \text{ V}, V_{GE} = 15 \text{ V}$ $R_G = 1,8 \Omega, C_{GE} = 150 \text{ nF}, T_{vj} = 125^\circ \text{ C}, L_S = 40 \text{ nH}$	E_{on}	-	1920	-	mWs
Abschaltverlustenergie pro Puls turn-off energy loss per pulse	$I_C = 800 \text{ A}, V_{CC} = 1800 \text{ V}, V_{GE} = 15 \text{ V}$ $R_G = 1,8 \Omega, C_{GE} = 150 \text{ nF}, T_{vj} = 125^\circ \text{ C}, L_S = 40 \text{ nH}$	E_{off}	-	1020	-	mWs
Kurzschlußverhalten SC Data	$t_p \leq 10 \mu\text{sec}, V_{GE} \leq 15 \text{ V}$	I_{SC}	-	4000	-	A
	$T_{vj} \leq 125^\circ \text{ C}, V_{CC} = 2500 \text{ V}, V_{CEmax} = V_{CES} - L_{sCE} \cdot di/dt$					
Modulinduktivität stray inductance module	IGBT (Zweig / arm 1+2 parallel)	L_{sCE}	-	12	-	nH
	Diode (Zweig / arm 3)					
Modul-Leitungswiderstand, Anschlüsse - Chip lead resistance, terminals - chip	$T = 25^\circ \text{ C}, \text{IGBT (Zweig / arm 1+2 parallel)}$	$R_{CC'+EE'}$	-	0,19	-	mΩ
	$T = 25^\circ \text{ C}, \text{Diode (Zweig / arm 3)}$					
				0,34		mΩ

Charakteristische Werte / Characteristic values

Diode / Diode

			min.	typ.	max.	
Durchlaßspannung forward voltage	$I_F = 800 \text{ A}, V_{GE} = 0 \text{ V}, T_{vj} = 25^\circ \text{ C}$	V_F	-	2,80	3,50	V
	$I_F = 800 \text{ A}, V_{GE} = 0 \text{ V}, T_{vj} = 125^\circ \text{ C}$					
Sperrstrom reverse current	$V_{CE} = 3300 \text{ V}, T_{vj} = 25^\circ \text{ C}, \text{Zweig / arm 3}$	I_R	-	0,01	1,6	mA
	$V_{CE} = 3300 \text{ V}, T_{vj} = 125^\circ \text{ C}, \text{Zweig / arm 3}$					
Rückstromspitze peak reverse recovery current	$I_F = 800 \text{ A}, -di_F/dt = 2500 \text{ A}/\mu\text{sec}$	I_{RM}	-	650	-	A
	$V_R = 1800 \text{ V}, V_{GE} = -10 \text{ V}, T_{vj} = 25^\circ \text{ C}$					
	$V_R = 1800 \text{ V}, V_{GE} = -10 \text{ V}, T_{vj} = 125^\circ \text{ C}$					
Sperrverzögerungsladung recovered charge	$I_F = 800 \text{ A}, -di_F/dt = 2500 \text{ A}/\mu\text{sec}$	Q_r	-	500	-	μAs
	$V_R = 1800 \text{ V}, V_{GE} = -10 \text{ V}, T_{vj} = 25^\circ \text{ C}$					
	$V_R = 1800 \text{ V}, V_{GE} = -10 \text{ V}, T_{vj} = 125^\circ \text{ C}$					
Abschaltenergie pro Puls reverse recovery energy	$I_F = 800 \text{ A}, -di_F/dt = 2500 \text{ A}/\mu\text{sec}$	E_{rec}	-	490	-	mWs
	$V_R = 1800 \text{ V}, V_{GE} = -10 \text{ V}, T_{vj} = 25^\circ \text{ C}$					
	$V_R = 1800 \text{ V}, V_{GE} = -10 \text{ V}, T_{vj} = 125^\circ \text{ C}$					
				1000		mWs



**Datenblatt
data sheet**

Thermische Eigenschaften / Thermal properties

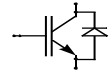
			min.	typ.	max.	
Innerer Wärmewiderstand thermal resistance, junction to case	Transistor / transistor, DC	R_{thJC}	-	-	0,013	K/W
	Diode/Diode, DC, Zweig / arm 1+2		-	-	0,026	K/W
	Diode/Diode, DC, Zweig / arm 3		-	-	0,026	K/W
Übergangs-Wärmewiderstand thermal resistance, case to heatsink	pro Modul / per module $\lambda_{Paste} = 1 \text{ W/m}^2\text{K} / \lambda_{grease} = 1 \text{ W/m}^2\text{K}$	R_{thCK}	-	0,004	-	K/W
Höchstzulässige Sperrschichttemperatur maximum junction temperature		T_{vj}	-	-	150	°C
Betriebstemperatur operation temperature		T_{op}	-40	-	125	°C
Lagertemperatur storage temperature		T_{stg}	-40	-	125	°C

Mechanische Eigenschaften / Mechanical properties

Gehäuse, siehe Anlage case, see appendix					
Material Modulgrundplatte material of module baseplate				AlSiC	
Innere Isolation internal insulation				AlN	
Kriechstrecke creepage distance				32,2	mm
Luftstrecke clearance				19,1	mm
CTI comperative tracking index				> 400	
Anzugsdrehmoment f. mech. Befestigung mounting torque		M1		5	Nm
Anzugsdrehmoment f. elektr. Anschlüsse terminal connection torque	terminals M4	M2		2	Nm
	terminals M8			8 .. 10	Nm
Gewicht weight		G		1500	g

Mit dieser technischen Information werden Halbleiterbauelemente spezifiziert, jedoch keine Eigenschaften zugesichert. Sie gilt in Verbindung mit den zugehörigen Technischen Erläuterungen.

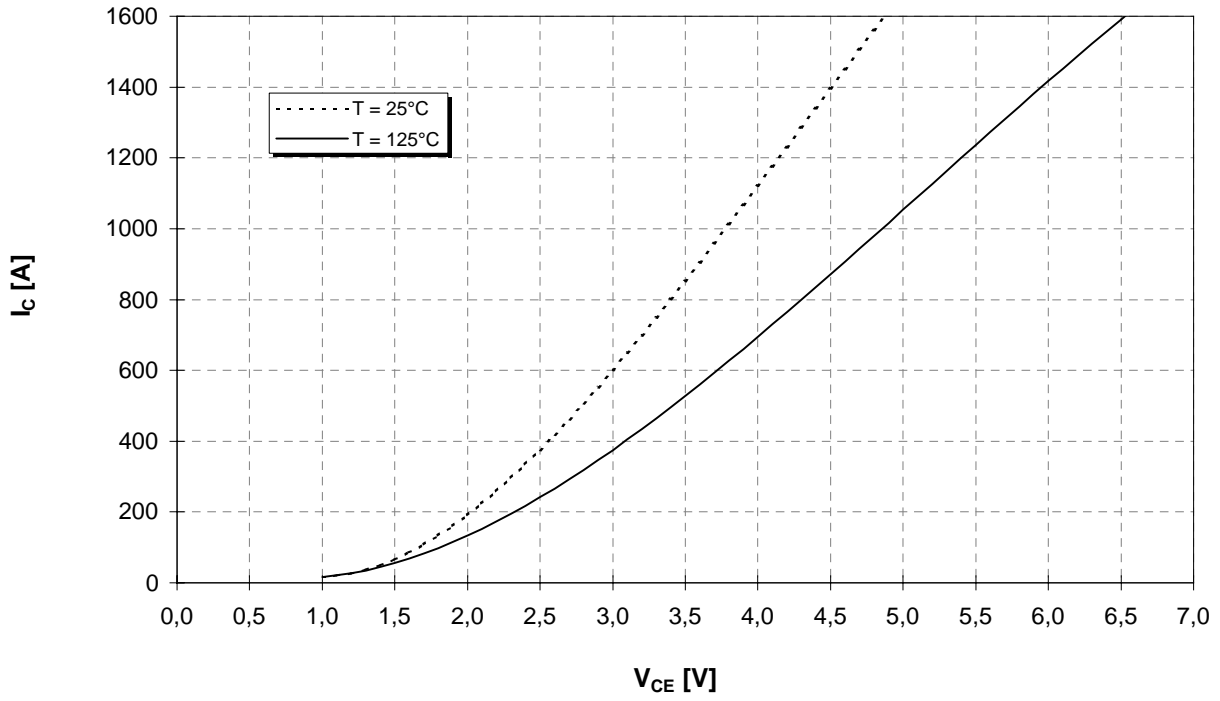
This technical information specifies semiconductor devices but promises no characteristics. It is valid in combination with the belonging technical notes.



Datenblatt
data sheet

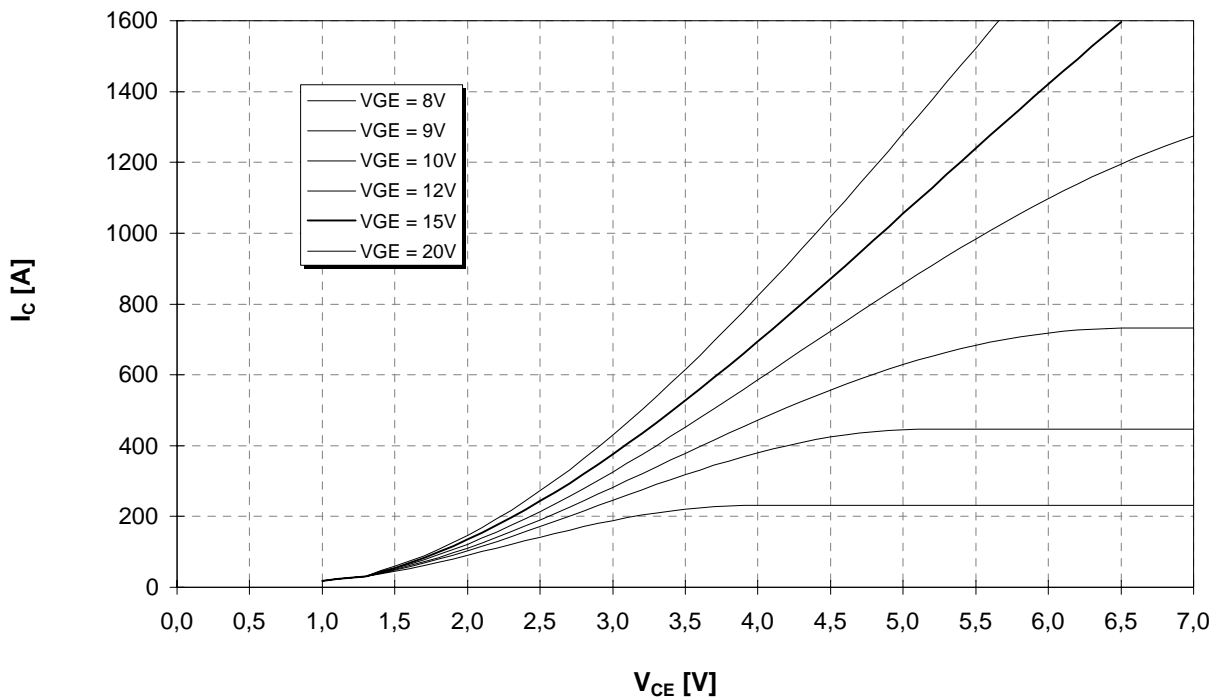
Ausgangskennlinie (typisch)
Output characteristic (typical)

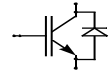
$I_C = f(V_{CE})$
 $V_{GE} = 15V$



Ausgangskennlinienfeld (typisch)
Output characteristic (typical)

$I_C = f(V_{CE})$
 $T_{vj} = 125°C$

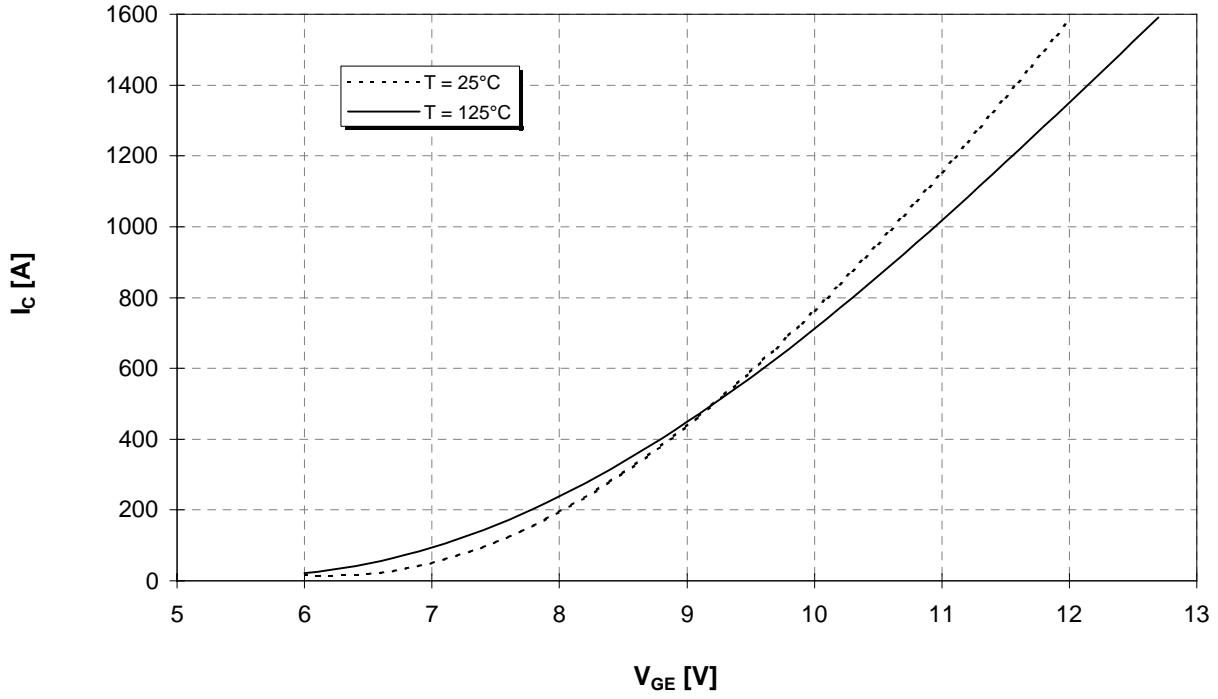




Datenblatt
data sheet

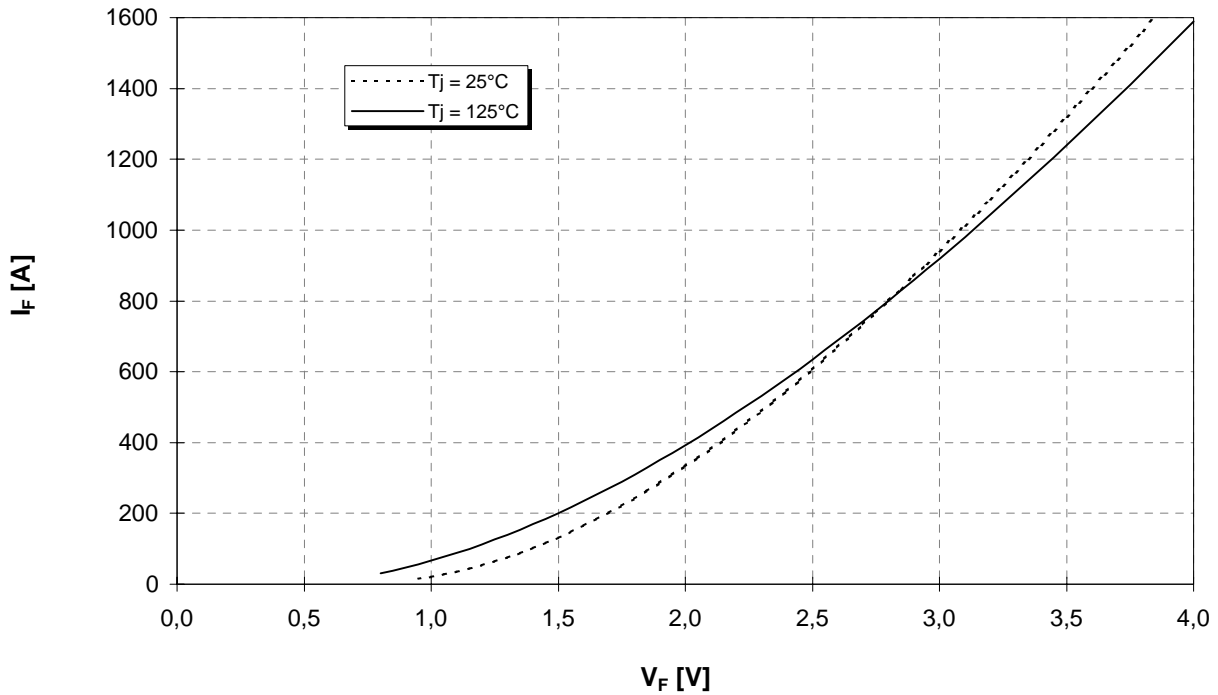
Übertragungscharakteristik (typisch)
Transfer characteristic (typical)

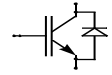
$I_C = f(V_{GE})$
 $V_{CE} = 20V$



Durchlaßkennlinie der Inversdiode (typisch)
Forward characteristic of inverse diode (typical)

$I_F = f(V_F)$



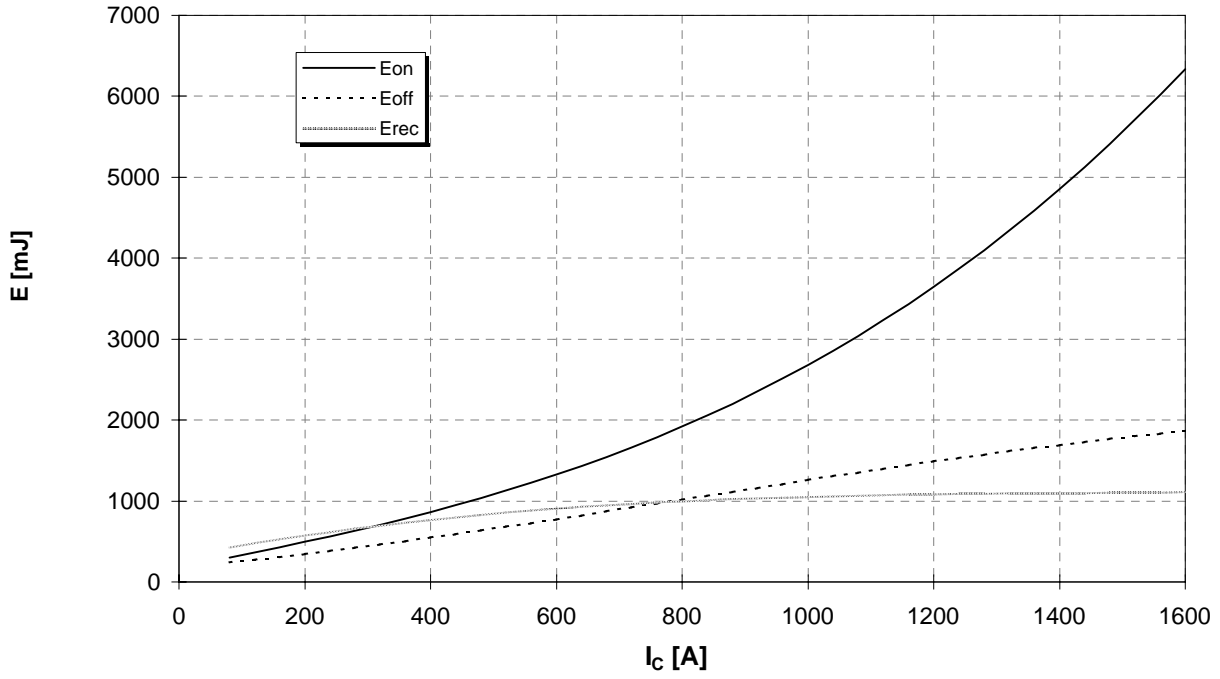


Datenblatt
data sheet

Schaltverluste (typisch)
Switching losses (typical)

$E_{on} = f(I_C)$, $E_{off} = f(I_C)$, $E_{rec} = f(I_C)$

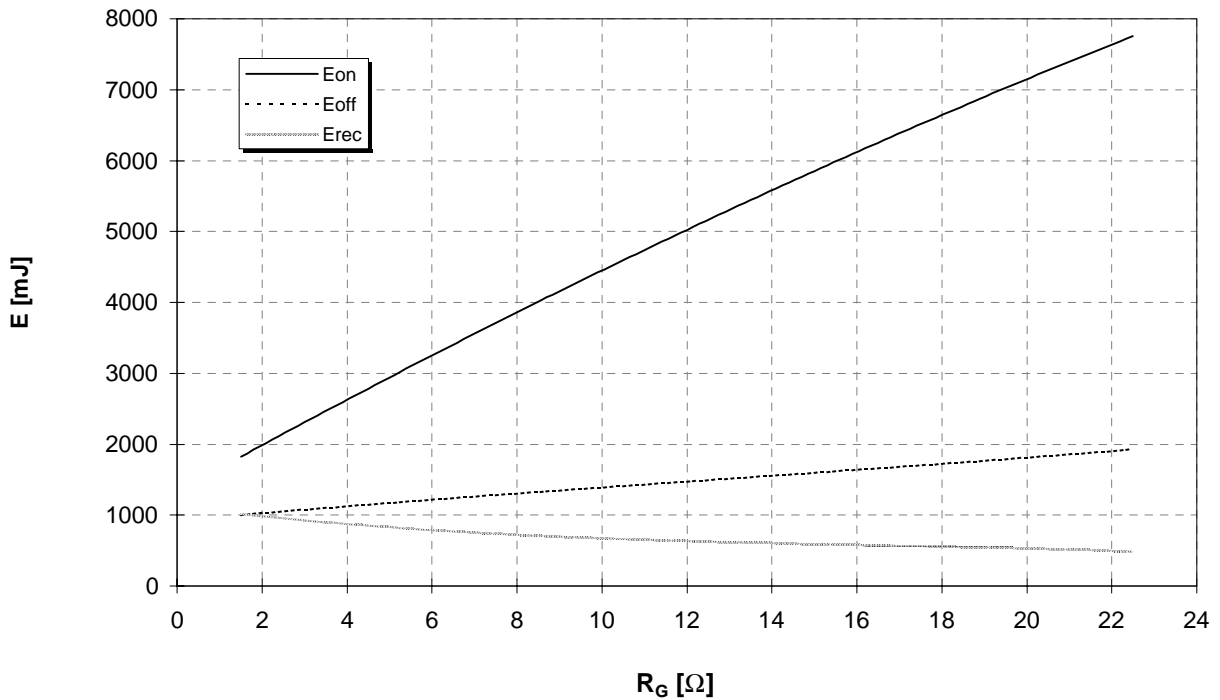
$R_{G,on} = 1,8 \Omega$, $R_{G,off} = 1,8 \Omega$, $C_{GE} = 150 \text{ nF}$, $V_{CE} = 1800\text{V}$, $T_J = 125^\circ\text{C}$

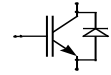


Schaltverluste (typisch)
Switching losses (typical)

$E_{on} = f(R_G)$, $E_{off} = f(R_G)$, $E_{rec} = f(R_G)$

$I_C = 800 \text{ A}$, $C_{GE} = 150 \text{ nF}$, $V_{CE} = 1800\text{V}$, $T_J = 125^\circ\text{C}$





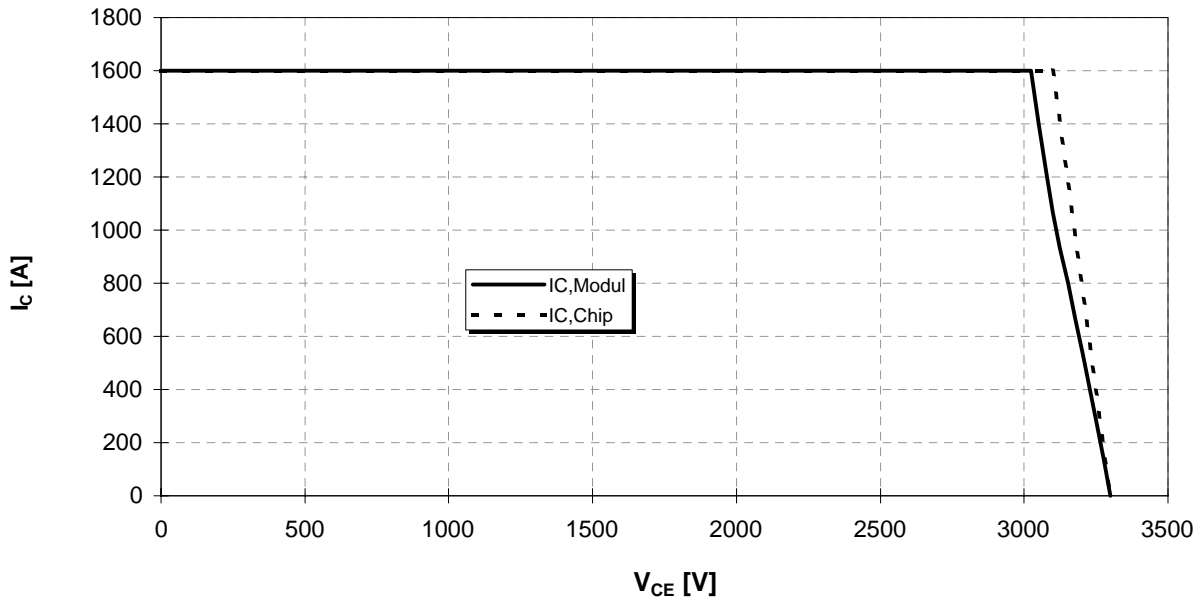
Datenblatt
data sheet

Sicherer Arbeitsbereich IGBT (RBSOA)

Reverse bias safe operation area IGBT (RBSOA)

$R_{G,off} = 1,8 \Omega$, $C_{GE} = 150 \text{ nF}$

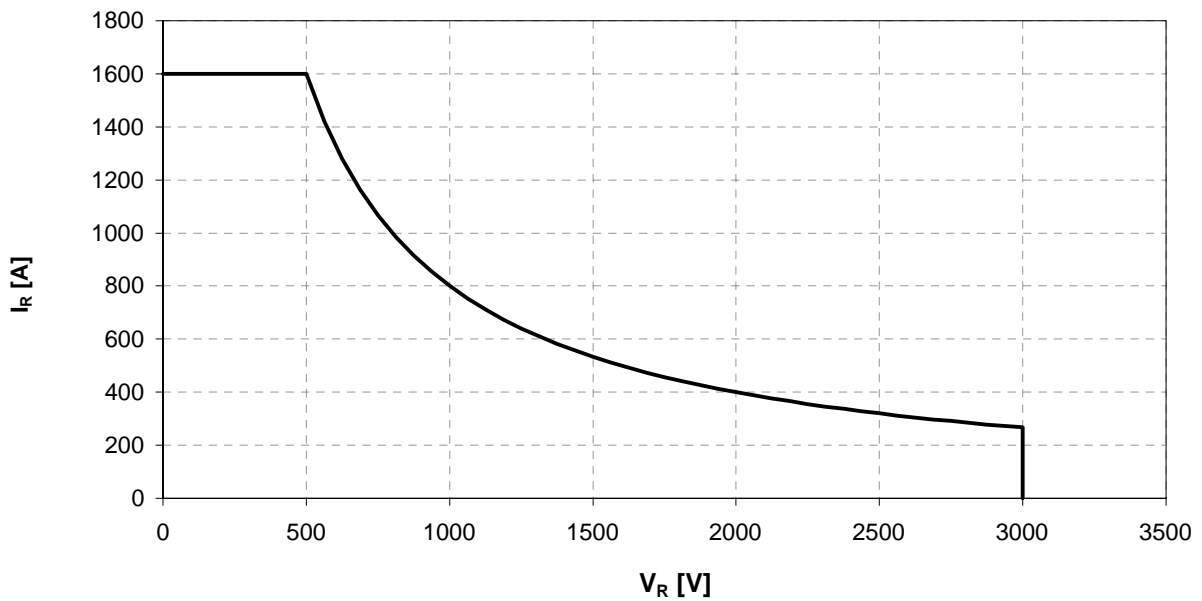
$T_{vj} = 125^\circ\text{C}$

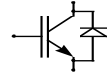


Sicherer Arbeitsbereich Diode (SOA)

safe operation area Diode (SOA)

$T_{vj} = 125^\circ\text{C}$

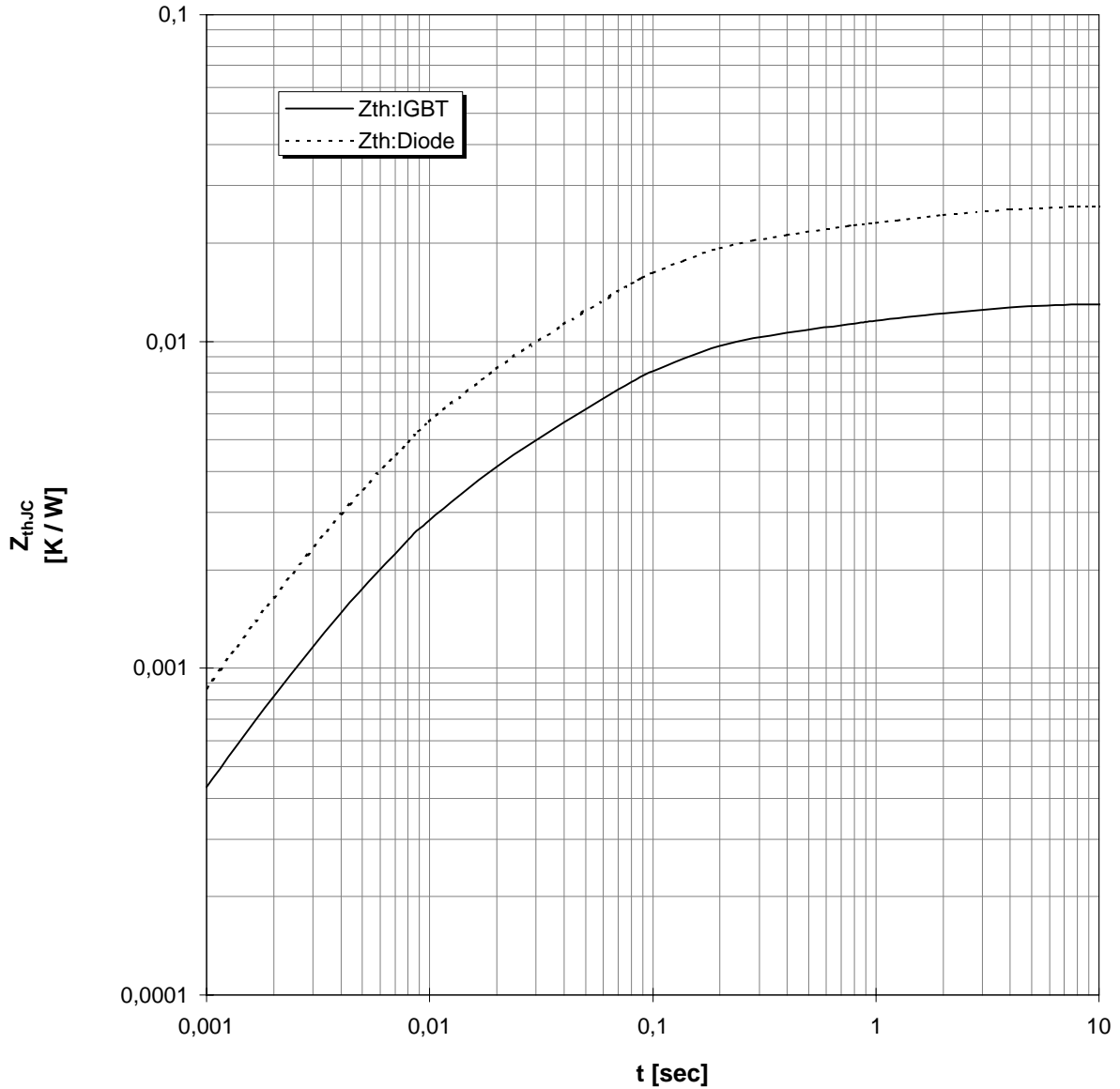




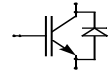
Datenblatt
data sheet

Transienter Wärmewiderstand
Transient thermal impedance

$$Z_{thJC} = f(t)$$



i	1	2	3	4
r_i [K/kW] : IGBT	2,38	6,49	1,93	2,20
τ_i [sec] : IGBT	0,0068	0,0642	0,3209	2,0212
r_i [K/kW] : Diode	4,76	12,98	3,86	4,40
τ_i [sec] : Diode	0,0068	0,0642	0,3209	2,0212



Gehäusemaße / Schaltbild
Package outline / Circuit diagram

